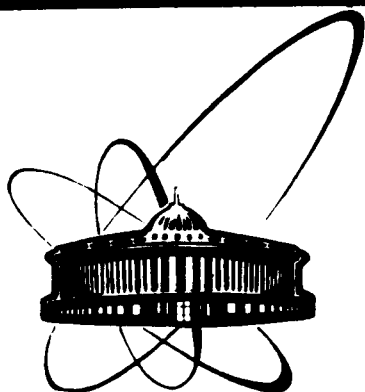


89-358



е
+
ОБЪЕДИНЕННЫЙ
ИНСТИТУТ
ЯДЕРНЫХ
ИССЛЕДОВАНИЙ
ДУБНА

К 192

P2-89-358

Б. Н. Калинин, В. Л. Шмонин*

КУМУЛЯТИВНЫЕ АДРОНЫ:
МЕХАНИЗМ РОЖДЕНИЯ, ИНФОРМАЦИЯ

Направлено в журнал "Physica Scripta"

*Институт физики высоких энергий АН КазССР, Алма-Ата

1989

1. Введение

Кумулятивный эффект в реакциях с участием ядер при высоких энергиях представляет собой рождение частиц в области фазового пространства, запрещенной кинематикой взаимодействия двух свободных нуклонов. В многочисленных экспериментальных исследованиях эффекта выявлены его основные закономерности /см., например, /1/ и ссылки в них/. Анализ этих закономерностей, а также сопоставление различных подходов к описанию кумулятивных реакций позволили нам /2,3/ сделать вывод о том, что доминирующий вклад в их сечения вносят процессы, протекающие по "горячей" схеме, основанной на весьма общем представлении о механизме множественного рождения адронов. Согласно этой схеме процесс образования частиц проходит через стадию формирования статистической комплаунд-системы /КС/, распадающейся вне ядра. На этой основе удается объяснить многие закономерности кумулятивного эффекта, не прибегая к дополнительным модельным представлениям /3/. При этом можно получить соотношения /3/, связывающие инклюзивное сечение произвольной кумулятивной реакции с единственным сечением образования частицы конкретного сорта " i ", вылетающей под определенным углом θ .

В данной работе анализ следствий горячей схемы мы дополнили рассмотрением вопроса о механизме образования КС в коллективном взаимодействии нуклонов. Два варианта такого взаимодействия /4,5/ и обобщенная модель, учитывающая их суперпозицию, представлены в наиболее простой формулировке, позволяющей легко вычислять абсолютную величину и наклон инвариантного сечения рождения кумулятивной частицы " i ". Излагаемый подход позволяет завершить начатое в /3/ обсуждение проблемы о характере физической информации, которую можно получить из экспериментальных исследований кумулятивного эффекта.

2. Распадные свойства статистической КС и их следствия

2.1. Выбор переменных

Как известно /6/, кинематической характеристикой частицы, адекватной статистической природе порождающей её системы, является энергия E_C^* , определенная в системе покоя КС, или отношение этой энергии

к её максимально возможному значению: $x_R = E^C / (E^C)_{max}$. Поскольку статистически равновесная система способна равномерно вращаться /6/, в общем случае спектр частиц, образующихся при её распаде, должен зависеть от углов вылета. При анализе инклюзивных спектров симметрия задачи рассеяния /вектор углового момента распределен изотропно в плоскости прицельного параметра/ позволяет ограничиться рассмотрением одного угла θ_C , отсчитываемого в системе покоя КС от оси столкновения. Таким образом, спектр частиц сорта "i", образующихся при распаде КС с фиксированными массой $M_{КС}$ и полным угловым моментом $L_{КС}$, является функцией двух переменных: x_R и θ_C .

Измеренные сечения образования кумулятивных частиц также представляются в виде функции двух переменных, в качестве которых, как правило, используются кумулятивное число x и лабораторный угол вылета θ . Переменная x определяется соотношением

$$x = \frac{1}{m_N} \frac{E^{in} E_i - P^{in} P_i \cos \theta + \frac{1}{2}(m_2^2 - m_i^2) + m_N m_2}{E^{in} - m_N - E_i - m_2}, \quad (1)$$

где E^{in} , P^{in} - энергия и импульс первичной, а E_i , P_i - рожденной частицы, m_i - её масса, m_N - масса нуклона, m_2 - массовая поправка, учитывающая законы сохранения странности и барионного заряда: m_2 равна нулю, $m_\lambda = m_N$, m_K и $m_{\bar{p}}$ при рождении π , K^+ , K^- и \bar{p} соответственно. Величину x можно рассматривать как минимальную массу мишени, выраженную в единицах нуклонной массы. При $x > 1$ частица считается кумулятивной. Переменные x и θ связаны преобразованием Лоренца с переменными x_R и θ_C . В рассмотренной нами ниже области изменения кинематических переменных эта связь весьма проста. Так, при $\theta \geq \pi/2$

$$x \approx x_R \cdot n, \quad (2)$$

где n - число нуклонов ядра, участвующих в формировании КС. Углы же вылета θ и θ_C релятивистской частицы связаны приближенным соотношением:

$$\cos \theta_C \approx \frac{\cos \theta - \beta}{1 - \beta \cos \theta}, \quad (3)$$

где β - скорость КС в лабораторной системе.

Очевидно, что рождение адрона "i" с заданным значением x становится возможным, если количество участвующих нуклонов ядра n удовлетворяет неравенству $n \geq I_x$, где I_x - целая часть числа $x + 1$. Следовательно, сечение такого процесса может быть представлено в виде суммы:

$$E \frac{d^3 \sigma_i(x, \theta)}{dp^3} = \sum_{n=I_x} W_A^{(n)} \cdot F_L^{(n)}(x, \theta), \quad (4)$$

где $F_i^{(n)}$ — инвариантные спектры частиц, образующихся при распаде статистической КС, а $W_A^{(n)}$ — сечения её образования с участием n нуклонов ядра.

2.2. Зависимость инклюзивных сечений от θ

Как показано в /3/, КС, образующиеся в редком канале рождения кумулятивных адронов, имеют, как правило, значительный угловой момент /до $L = 10$ и более/. При больших значениях x кумулятивная частица уносит большую часть кинематически доступной энергии КС. Последняя складывается из внутренней энергии КС и энергии её вращения как целого. Поэтому кумулятивная частица должна уносить и большую часть углового момента КС. Но в центрально-симметричной задаче о двух телах с фиксированным угловым моментом относительного движения переменные "импульс — угол" разделяются /см., например, /7/. Следовательно, зависимости инклюзивных спектров от переменных x , и θ_c факторизуются:

$$F_i^{(n)}(x_R, \theta_c) \approx \varphi^{(n)}(\theta_c) \cdot f_i^{(n)}(x_R). \quad (5)$$

В соответствии с соотношениями (2), (3) такая факторизация сохраняется и для переменных x, θ :

$$F_i^{(n)}(x, \theta) = \varphi^{(n)}(\theta) \cdot f_i^{(n)}(x). \quad (6)$$

Наличие значительного углового момента позволяет использовать для оценки $\varphi^{(n)}(\theta_c)$ простые квазиклассические выражения для квадрата модуля угловой части волновой функции частицы /8/, уносящей момент L :

$$|Y_{L0}(\theta_c)|^2 \approx (2\pi^2 \text{Sin } \theta_c)^{-1} \quad \text{при} \quad |\pi - \theta_c| \gg L^{-1}, \quad (7)$$

$$|Y_{L0}(\theta_c = \pi)|^2 \approx L/2\pi, \quad (8)$$

где $L \ll \bar{L}_{КС}^{(n)}$. В /3/ уже отмечалось, что $\bar{L}_{КС}^{(n)}$ слабо зависит от n . Поэтому в первом приближении можно положить

$$\varphi_i^{(n)}(\theta_c) \approx \varphi_i^{(L)}(\theta_c) \approx |Y_{L0}(\theta_c)|^2. \quad (9)$$

Подставляя (9) и (6) в (4), получим

$$E \frac{d^3 \zeta_i(x, \theta)}{d\rho^3} \approx |Y_{L0}(\theta)|^2 \sum_{n=L} W_A^{(n)} \cdot f_i^{(n)}(x). \quad (10)$$

Следовательно, инвариантные сечения образования кумулятивных частиц факторизуются в переменных x и θ , что соответствует результатам наблюдений /1/, изображенным на рис.1. Проведенный в /3/ анализ экспериментальных данных /9/ показал, что как сам эффект факторизации, так и величина "расщепления" сечений под разными углами θ сохраняются для разных ядер и сортов кумулятивных мезонов.

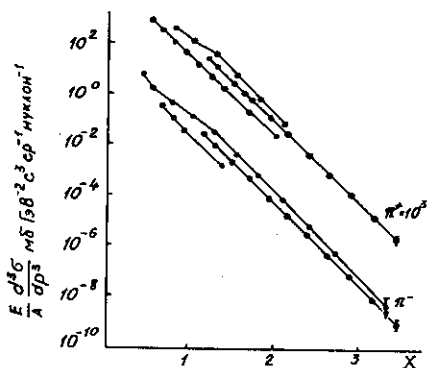


Рис. 1. Зависимость $\frac{E}{A} \frac{d^3\sigma}{dp^3 dx}$ от x ; точки - данные работ [1,9] для реакций $pTa(pB) \rightarrow \pi^\pm X$ при $\theta=90^\circ, 120^\circ, 168^\circ$. Линиями соединены точки с одинаковым θ .

При $E^{in} = 10$ ГэВ и $\pi = 2,3$ средняя скорость КС составляет $\beta \approx 0,8$. Тогда согласно (3) углу $\theta=168^\circ$ соответствует $\theta_c \approx \pi$, а углу $\theta=90^\circ$ соответствует $\theta_c = 144^\circ$. Учитывая это соответствие и выражение (10), получим

$$E \frac{d^3\sigma(x, 168^\circ)}{dp^3} / E \frac{d^3\sigma(x, 90^\circ)}{dp^3} \approx |Y_L(\pi)|^2 / |Y_L(144^\circ)|^2 = 2\bar{L}. \quad (II)$$

Из экспериментальной оценки отношения (II) ($\sim 10^{1/2}$) находим, что эффективное значение углового момента, уносимого кумулятивным мезоном, порядка $\bar{L}_\pi \approx 5$.

2.3. Зависимость инвариантного сечения от сорта адрона

В [3], опираясь на представление о КС как о статистической системе, мы установили возможность приближенной факторизации сечений $E \frac{d^3\sigma_i}{dp^3}$ от "i" - сорта адрона, следствием которой явились соотношения

$$E \frac{d^3\sigma_i}{dp^3} \approx (i/j) \sum_{n=1}^{\infty} W_A^{(n)} F_j^{(n)} = (i/j) E \frac{d^3\sigma_j}{dp^3}. \quad (I2)$$

При выводе (I2) и оценке отношений (i/j) было использовано термодинамическое приближение, заведомо неприменимое для описания самих спектров частиц в области больших значений x . Доказательство справедливости такого подхода дано в [3] для рождения кумулятивных K^- - мезонов и антипротонов. При этом было учтено, что эти частицы рождаются в паре с ненаблюдаемым партнером, обеспечивающим сохранение странности и барионного заряда. Такой учет заметно усложняет процедуру доказательства.

Здесь мы продемонстрируем его основную идею на простейшем примере рождения одиночных частиц "i" и "j". В соответствии с хорошо известной логикой статистических подходов к описанию множественного рождения /10,11/ сечения образования тех или иных адронов определяются статистическими весами соответствующих каналов реакции. В нашем случае это означает, что функция $f_i^{(n)}(x)$ в (6) пропорциональна внутреннему статистическому весу g_i частицы "i" и фазовому объему остатка КС, образовавшегося после испускания частицы "i" :

$$f_i^{(n)}(x) \sim g_i \rho(M_n - E_i^c). \quad (13)$$

Вероятность же вылета частицы "i" определяется отношением статистического веса данного канала к суммарному статистическому весу распада по всем каналам $\rho(M_n)$:

$$f_i^{(n)}(x) \approx g_i \rho(M_n - E_i^c) / \rho(M_n). \quad (14)$$

Приближенно $\rho(M_n)$ можно приравнять к статистическому весу доминирующего канала. В нашем случае ему соответствует распад на π -мезоны и вошедшие в состав КС нуклоны. Согласно /11/ $\rho(M_n)$ можно представить в виде

$$\rho(M_n) \approx \rho(E_i^c) \rho(M_n - E_i^c), \quad (15)$$

где $\rho(E_i^c)$ - фазовый объем подсистемы с энергией, равной E_i^c , но распадающийся на π -мезоны в доминирующем канале. Подставляя (15) в (14), получим соотношение

$$f_i^{(n)}(x) \approx g_i \rho^{-1}(E_i^c), \quad (16)$$

которое согласно статистическому определению энтропии /6/ $S(E_i^c) = -\ln \rho(E_i^c)$ переходит в

$$f_i^{(n)}(x) \approx g_i e^{-S(E_i^c)}. \quad (17)$$

Если $T \ll E_i^c \ll M_n$ / T - температура системы/, то для $S(E_i^c)$ применимо термодинамическое приближение, т.е. $S(E_i^c) \approx E_i^c/T$, и тогда

$$f_i^{(n)}(x) \approx g_i \exp(-E_i^c/T). \quad (18)$$

Однако в случае рождения кумулятивных частиц $x_i \approx x_j \leq 1$ и $E_i^c \approx E_j^c \leq M_n$. При этом

$$|E_i^c - E_j^c| \ll M_n. \quad (19)$$

Повторяя изложенный выше вывод, для отношений $(i/j)_n = f_i^{(n)}(x) / f_j^{(n)}(x)$ получим

$$(i/j)_n = \frac{g_i \rho(M_n - E_i^c)}{g_j \rho(M_n - E_j^c)} = \frac{\rho(E_j^c)}{\rho(E_i^c)} = \exp[S(E_j^c) - S(E_i^c)]. \quad (20)$$

Воспользовавшись свойством аддитивности энтропии $S(E_j^c) - S(E_i^c) = S(E_j^c - E_i^c)$, преобразуем (20) в

$$(i/j)_n = \exp[S(E_j^c - E_i^c)]. \quad (21)$$

При этом неравенство (19) фактически является условием применимости термодинамического приближения для энтропии подсистемы с энергией, равной разности $E_i^c - E_j^c$: $S(E_j^c - E_i^c) = (E_j^c - E_i^c)/T$. В этом приближении

$$(i/j)_n \approx \frac{g_i}{g_j} \exp[(E_j^c - E_i^c)/T]. \quad (22)$$

Как показано в /3/, зависимостью $(i/j)_n$ от n при $x_i \approx x_j$ в первом приближении можно пренебречь. Этим и определяется допустимость факторизации (12), которая подтверждается экспериментом: спектры различных кумулятивных частиц в пределах погрешностей эксперимента имеют одинаковый наклон /1/.

Изложенный метод был использован в /3/ для получения оценки -"предсказания" отношений сечений образования ρ -, ω - и φ -мезонов к сечению образования π -мезонов. Детальный вывод формул для парного рождения частиц представлен в /3/. Там же полученные на их основе оценки (i/j) сопоставлены с данными экспериментов.

2.4. Оценка функции $f_{\pi}^{(n)}(x)$

Учет влияния углового момента (п.2.2) и термодинамическая оценка отношений фазовых объемов различных каналов реакции (п.2.3) позволяют выразить любое инвариантное сечение через сечение какой-либо конкретной кумулятивной реакции, например, реакции образования π -мезонов, вылетающих под углом $\theta = 180^\circ$. Однако для того, чтобы описать именно эту реакцию, необходимо определить абсолютную величину и зависимость от x её статистического веса, т.е. фазового объема остатка КС, образующегося при испускании π -мезона. Это означает, что необходимо задать в явном виде функцию $f_{\pi}(x)$, входящую в (6).

Прямое решение этой задачи в рамках статистической теории представляет собой весьма сложную проблему, содержащую помимо техниче-

ких трудностей необходимость учета факторов, информация о которых еще недостаточно полна. Поэтому на данной стадии целесообразно ограничиться её приближенным феноменологическим решением.

Будем исходить из того, что практически все имеющие аналитическое решение варианты статистической теории (см., например, /10,12/) дают для оценки статистического веса канала выражение вида:

$$f(x) \approx C_2 (1-x)^{C_2}, \quad (23)$$

в котором параметр C_2 связан с числом степеней свободы системы, участвующих в распределении энергии в момент излучения частицы, уносящей энергию $x E_{max}^c$.

Параметры C_1 и C_2 найдем из сравнения с экспериментом по множественному рождению. Для того чтобы избежать влияния лидирующих частиц, образующихся в адронных столкновениях, но заведомо не являющихся продуктами распада статистической КС, примем за основу процесс $e^+e^- \rightarrow \rightarrow \hbar + X$ при умеренных значениях $\sqrt{S'} = (5 + 7)$ ГэВ, для которых справедливость предположения об образовании лишь одной / а не нескольких / статистической системы представляется разумным. В экспериментах по изучению процесса $e^+e^- \rightarrow \hbar + X$ обычно определяется величина $\frac{1}{\sigma} \frac{d\sigma}{dx}$, связанная с инвариантным спектром $f(x)$ соотношением

$$\frac{1}{\sigma} \frac{d\sigma}{dx} = E_{max}^c \frac{(p^c)^2}{E^c} f(x) \approx (E_{max}^c)^2 x f(x). \quad (24)$$

Сопоставление (24) с данными /13/ приводит к следующей параметризации функции $f_{\pi^-}(x)$:

$$f_{\pi^-}(x) \approx \frac{14,2}{(E_{max}^c)^2} (1-x)^{3,83}. \quad (25)$$

С учетом (8) для функции $F_{\pi^-}^{(n)}(x, \pi)$ получим

$$F_{\pi^-}^{(n)}(x, \theta = \pi) \approx \frac{14,2}{(E_{max}^c)^2} \frac{\bar{L}}{2\pi} \left(1 - \frac{x}{\pi}\right)^{3,83}. \quad (26)$$

Отметим, что функция (26) не обладает свойством масштабной инвариантности, поскольку

$$\bar{L} / (E_{max}^c)^2 \sim (E^{iz})^{-1/2}. \quad (27)$$

Фейнмановский скейлинг нарушается в любой модели, предполагающей образование единой статистически равновесной системы. Однако такое предположение справедливо лишь при E^{iz} порядка 10 ГэВ. В статистических подходах к процессу множественного рождения фейнмановский скейлинг для $F(x)$ обеспечивается тем, что с ростом E^{iz} растет число равновесных подсистем, распределенных по быстройре /14/. При малых же энергиях, где допустимо однокластерное приближение, скейлинг нарушается, о чем свидетельствуют многочисленные данные эксперимента. Одной из возможных причин его нарушения является поведение фактора (27).

В итоге для вычисления абсолютной величины инвариантных сечений (4) остается определить сечения образования КС $- W_A^{(n)}$. Этой задаче посвящен следующий раздел.

3. Формирование горячей КС в коллективном взаимодействии нуклонов

В принципе, накопление энергии, необходимой для образования кумулятивной частицы, может происходить и в основном канале множественного рождения на ядрах в результате последовательных взаимодействий статистической КС с нуклонами ядра. Однако при этом требуется, чтобы в КС произошло перераспределение энергии, накопленной в ряде столкновений с концентрацией её значительной части на одной рождаемой частице. Вероятность такого перераспределения должна быть исчезающе малой. Действительно, вследствие квазиклассического расширения КС /15,16/ с околосветовой скоростью отсутствует эффективный обмен энергии между её частями, движущимися в противоположные стороны. Кроме того, с развитием процессов диссипации, сопровождающихся рождением $q\bar{q}$ - пар и глюонов, происходит разрыв цветных связей между частями КС и прекращение обмена энергией между ними. Эти аргументы позволяют считать, что КС, способные излучать кумулятивную частицу, образуются в коллективном (т.е. не разделенном во времени процессом диссипации) взаимодействии нескольких нуклонов.

Существуют два варианта реализации таких взаимодействий. Один из них предложен в классической работе Д.И.Блохинцева /4/, в которой предполагалось, что квазиупругое выбивание дейтронов из ядер при промежуточных энергиях обусловлено коллективным взаимодействием с налетающей частицей двух нуклонов ядра, флуктуативно сблизившихся на малое расстояние. Этот вариант обсуждался нами еще в /17/ в связи с начавшимися в то время исследованиями кумулятивных реакций при высоких энергиях.

Второй вариант допускает формирование горячей КС в результате развития процесса множественного рождения в плотном ядерном веществе. В нем коллективный характер взаимодействия нескольких нуклонов обусловлен флуктуациями времени задержки развития диссипативных процессов в КС, образованной при взаимодействии налетающей частицы с одним из нуклонов ядра. Этот вариант был предложен в /18/ и развит в /19,5/ в форме конкретной модели "собираания". Ниже мы рассмотрим оба варианта в их наиболее простом и удобном для сопоставления виде, а также сформулируем обобщенную модель коллективного взаимодействия, в которой оба эти механизма действуют совместно.

3.1. Флуктуационный механизм Д.И.Блохинцева

Согласно гипотезе Д.И.Блохинцева группа из n нуклонов ядра может испытать взаимодействие как единое целое в том случае, если они флуктуативно сблизятся на расстояние порядка $z_{\xi} = (2+3) \frac{\hbar}{\pi n} / z_{\xi}$ - расстояние между центрами нуклонов/. В [4,20] показано, что данные о сечении процесса квазиупругого выбивания дейтронов из ядер воспроизводятся при значении параметра z_{ξ} :

$$z_{\xi} \approx 0.4 \text{ фм.} \quad (28)$$

Использованное в [4] "газовое" приближение для оценки вероятности флуктуации n нуклонов в малом объеме приводит к следующему выражению для сечений неупругого взаимодействия налетающего нуклона с такой флуктуацией:

$$\left[W_A^{(n)} \right]_E \approx \sigma_{NN}^{in} A (z_{\xi}/z_0)^{3(n-1)} / n! \quad (29)$$

В (29) отсутствует учет экранировки этого взаимодействия ядерным веществом, а также учет влияния ядра на выходящую из него КС. Однако, как показано нами в [2,3], влияние этих факторов на процесс образования частиц в задней полусфере невелико.

С позиций кварковой модели адронов феноменология модели Д.И.Блохинцева выделяет такие конфигурации n нуклонов в ядре, в которых связь между всеми их составляющими посредством цветных сил столь же эффективна, как и в одном нуклоне. Очевидно, что такие состояния реализуются при полном перекрытии нуклонов, которое можно определить с точностью до ширины размазки нуклонной границы. Толщину размазки можно связать с максимально возможным удалением кварка за пределы нуклонного мешка. По существу, такое удаление - подбарьерный эффект, поскольку оно связано с образованием цветной струны с линейной плотностью энергии $\epsilon = 1 \text{ ГэВ/фм}$ [21]. В работе [22] мы получили оценку максимальной длины виртуальной струны в холодном ядре, не нарушающей причинности и закон сохранения энергии:

$$L_{max} \approx \sqrt{\hbar c / \epsilon} \approx 0,44 \text{ фм.} \quad (30)$$

Близость значений (28) и (30), по-видимому, не случайна - их связывает внутренняя логика рассматриваемой картины, в соответствии с которой $z_{\xi} \lesssim L_{max}$.

На рис.2 штрихпунктирной кривой изображен результат расчета $E \frac{d^2\sigma}{d\rho^2}$ по формуле (4) с использованием (26), (28), (29) для π^- -мезонов, вылетающих под углом $\theta = 168^\circ$ в PAZ - взаимодействии при $E^{in} = 9 \text{ ГэВ}$. Из рис.2 видно, что этот результат находится в удовлетворительном согласии с экспериментальными данными [9].

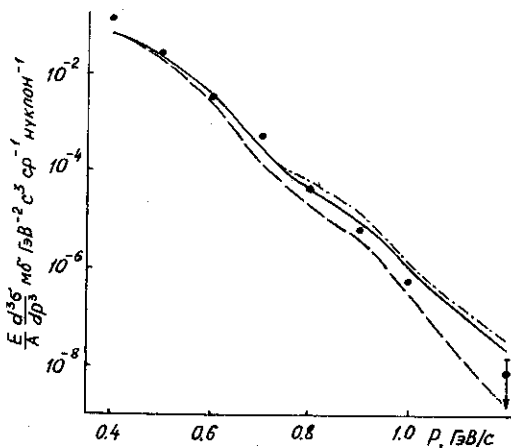


Рис. 2

Инвариантное сечение рождения π^- -мезонов в реакции $pAl \rightarrow \pi^- + X$, $\theta = 168^\circ$, $E^{inc} = 9$ ГэВ. Эксперимент [9]. Кривые: штрихпунктирная — модель Д.И.Блохинцева; пунктирная — модель собирания; сплошная — обобщенная модель.

Подчеркнем, что расчет не содержит ни одного подгоночного параметра, так как величина z_z была установлена Д.И.Блохинцевым [4] при анализе процесса квазиупругого выбивания дейтронов при $E^{inc} \approx 1,5$ ГэВ. При этом среднее число двухнуклонных флуктонов в ядре алюминия $N_2 \approx 0,4$, а вероятность лобому нуклону этого ядра оказаться в составе такого флуктона $P_2 = \frac{2}{A} N_2 \approx 0,03$, что в несколько раз меньше значения P_2 в существующих моделях холодной схемы.

3.2. Коллективное взаимодействие в модели "собирания"

Иному варианту коллективного взаимодействия соответствует модель собирания. В отличие от модели Д.И.Блохинцева в ней компактная система нуклонов, взаимодействующая с налетающей частицей как единое целое, не содержится в ядре до взаимодействия, а формируется в процессе его развития. Наиболее полное изложение модели "собирания" в её современном виде дано в [5], где показано, что механизм собирания естественным образом вытекает из современных представлений о хромодинамике больших расстояний. Качественная картина механизма состоит в следующем. На первой стадии налетающий нуклон и один из нуклонов ядра оказываются связанными цветными силами. Под действием этих сил покоившийся нуклон мишени приобретает ускорение в направлении движения первичного нуклона. Если при повторных взаимодействиях этой сис-

темы с другими нуклонами ядра в ней флуктуативно возникла задержка развития диссипативных процессов /разрывов струн/, то налетающая частица взаимодействует с "наннзанной" на цветную связь группой нуклонов коллективным образом.

В ^{5/} даны замкнутые аналитические выражения для сечений коллективного взаимодействия $W_A^{(n)}$, устанавливающие их связь с параметрами развития процесса множественного рождения в ядрах на его ранней стадии. К сожалению, качественному анализу этой связи препятствует громоздкость этих выражений. Однако их можно существенно упростить, если пренебречь самоэкранировкой процесса собирания и протяженностью длины собирания по сравнению с размерами ядер /эта операция завышает значения $W_A^{(n)}$ приблизительно вдвое/. Заметим, кстати, что в аналогичном приближении получено и выражение (29), что облегчает сопоставление обоих вариантов реализации коллективного взаимодействия.

Упрощенные выражения для $W_A^{(n)}$ можно получить, преобразуя формулы работы ^{5/} с помощью упомянутых выше приближений. Здесь мы покажем возможность их непосредственного построения на основе простых качественных соображений. Такой путь облегчает понимание физической структуры выражений.

В соответствии с логикой кварковой интерпретации коллективного взаимодействия /см. п.3.1/ для осуществления собирания n нуклонов ядра они должны оказаться в области, радиус поперечного сечения которой с точностью до величины ξ_3 равен радиусу нуклона. Поэтому участвовать в коллективном взаимодействии могут лишь те нуклоны, центры которых, спроектированные на плоскость прицельного параметра, лежат в круге с радиусом ξ_3 , т.е. сечение повторных актов собирания равно $\sigma_c \approx \pi \xi_3^2$.

В промежутках между актами собирания включаются два конкурирующих фактора: возможность повторного акта собирания с характерной длиной $(\alpha_c \rho)^{-1}$ и возможность выхода из канала собирания в результате развития в КС диссипативных процессов с характерной длиной ^{5/} :

$$\alpha_i^{-1} = \left(\frac{\tau_0}{M_{i-1}} \right) (f\beta)_{КС} = \frac{\tau_0 \rho^{i\alpha}}{M_{i-1}^2} \quad (31)$$

В (31) M_i - масса КС :

$$M_i^2 = S_i = 2m_i E^{i\alpha} + (i^2 + 1) m_N, \quad (32)$$

а τ_0 - параметр, характеризующий интенсивность диссипативных процессов.

Учет конкуренции этих факторов дает множитель $\sigma_c \rho / [a_i + \alpha_c \rho]$ для каждого повторного акта собирания. Поскольку же $(\alpha_c \rho)^{-1} \gg \alpha_i^{-1}$, то этот множитель можно записать ещё проще: $\sigma_c \rho / a_i$.

Далее, в модели $\sqrt[5]{}$ вероятность каждого повторного акта собирания уменьшалась на дополнительный фактор:

$$\exp [-z_c a_i] \quad (33)$$

– в соответствии с гипотезой о наличии жесткого кора в нуклон–нуклонных взаимодействиях, препятствующего сближению нуклонов ядра на расстоянии, меньшие радиуса кора z_c . И хотя вопрос о степени реализации и характере кора не является вполне ясным $\sqrt[23]{}$, фактор типа (33) в модели в любом случае должен быть сохранен. В самом деле, если жесткий кор отсутствует, то нуклоны, сближившиеся на расстояние $z_{nn} < z_s$, образуют флуктон Д.И.Блохинцева, который взаимодействует как единое целое /см. п.3.1/ и без собирания. Следовательно, фактор $\exp[-z_c a_i]$ исключает в сечении собирания вклад таких конфигураций нуклонов, которые соответствуют механизму коллективного взаимодействия Д.И.Блохинцева. Это необходимо для оценки истинного вклада механизма собирания. В случае реализации жесткого кора фактор $\exp[-z_c a_i]$ учитывает его влияние, а механизм Д.И.Блохинцева выключается. Поскольку оценка радиуса жесткого кора численно близка к оценке z_s , в дальнейшем мы подставляем в этот фактор величину z_s в обоих случаях.

Сопоставляя механизм Д.И.Блохинцева с механизмом собирания, можно отметить, что основой первого является флуктуация вещества в малом объеме, а второго – пространственная флуктуация вещества вблизи отрезка на оси удара, эффективная длина которого определяется флуктуацией развития взаимодействия во времени. То есть, грубо говоря, в этих механизмах фигурируют "объемный" и "пространственно-динамический" флуктоны соответственно. Поскольку в поперечном сечении оба флуктона геометрически идентичны, мы, как и в (29), полагаем, что сечение взаимодействия с пространственно-динамическим флуктоном близко к G_{nn}^{in} .

Наконец, учитывая квазилокальность процесса собирания ($a_i^{-1} \ll \ll z_0 A^{1/3} \sqrt[5]{}$) и пренебрегая экранировками, можно принять в первом грубом приближении, что сечение процесса пропорционально массовому числу A ядра-мишени.

Объединяя перечисленные факторы в единую конструкцию в соответствии с логикой изложенной картины, приходим к следующему выражению для сечений $W_A^{(n)}$ модели собирания:

$$\left[W_A^{(n)} \right]_c = G_{nn}^{in} A \frac{(G_c \rho)^{n-1}}{\prod_{i=2}^n a_i} e^{-z_s \sum_{i=2}^n a_i} \quad (34)$$

Выражение (34) можно упростить, если пренебречь массовой поправкой в формуле (32) для M_i . Тогда $a_i = \frac{2i m_N}{c}$ и

$$\left[W_A^{(n)} \right]_c \approx G_{nn}^{in} A \left[\frac{G_c \rho z_0}{2m_N} e^{-\frac{z_s m_N z_0}{c} \frac{n-1}{2}} \right]^{n-1} / (n-1)! \quad (35)$$

Учитывая, что $\sigma_c = \pi z_s^2$, а $\rho = (\frac{2}{3} \pi z_s^3)^{-1}$, можно установить простую связь между $[W_A^{(n)}]_c$ и $[W_A^{(n)}]_B$:

$$[W_A^{(n)}]_c \approx [W_A^{(n)}]_B \left\{ \frac{3}{8y} e^{-ny} \right\}^{n-1}, \quad (36)$$

где $y = z_s \frac{m_N}{5\mu} / \tau_0$.

Ранее величина τ_0 фигурировала в модели собирания в качестве свободного подгоночного параметра. Однако значение τ_0 можно приближенно оценить, используя популярную картину взаимодействия цветных зарядов на больших расстояниях. Действительно, согласно модели собирания время развития диссипативных процессов в системе двух нуклонов, связанных цветным взаимодействием, определяется соотношением $t_{KC} = \tau_0 / \sqrt{S_2}$. Потребуем, чтобы в пределе малых энергий относительного движения в системе $1/\sqrt{S_2} \geq 2m_N$ это время соответствовало времени разрыва цветной струны в её обычной адиабатической модели t_s . В рамках этой модели струна рвётся, когда энергия её натяжения достигает массы двух структурных кварков, т.е. при $2\mu_q = \frac{2}{3}m_N$. Следовательно, $t_s \approx \frac{2\mu_q}{\alpha} \approx \frac{2}{3} \frac{m_N}{\alpha}$. Приравняв t_{KC} и t_s , находим

$$\tau_0 \approx \frac{4}{3} \frac{m_N}{\alpha} \approx 1 \text{ ГэВ фм}. \quad (37)$$

Таким образом, оба параметра модели собирания, σ_c и τ_0 , оказываются связанными с характерными величинами КХД больших расстояний — коэффициентом натяжения цветной струны α и массой структурного кварка μ_q .

Результаты расчета по модели собирания сечения кумулятивной реакции $p + A \rightarrow \pi^- + X$, представленные на рис.2 пунктирной кривой, удовлетворительно согласуются с экспериментальными данными¹⁹. В расчетах использованы соотношения (35) и (37) при $z_s = 0,4$ фм.

3.3.Обобщенная модель коллективного взаимодействия

В случае отсутствия жесткого кора в NN -силах оба механизма коллективного взаимодействия — Д.И.Блохинцева и собирания — являются не альтернативными, а дополняющими друг друга (см.п.3.2). При этом для $n > 2$ эти механизмы могут включаться в игру в различных комбинациях, так как в процессе собирания могут участвовать не только нуклоны, но и флюктыны Д.И.Блохинцева.

Для учета всевозможных таких комбинаций и конструирования выражений для соответствующих им сечений удобно использовать мнемонические правила, внешне напоминающие диаграммную технику. При этом "вершинам" диаграмм можно сопоставить нуклоны и флюктыны, "пропаторем"- акты собирания.

Введем "вершинные" функции:

$$B_i = (z_s / z_0)^{i-1} / i! \quad (38)$$

равные вероятностям образования i - нуклонных флутонов. $B_1 = I$ соответствует одному нуклону. "Пропагаторам" соответствуют вероятности собирания в систему $(i+1)$ -го нуклона или флутона:

$$C_{i+1} = \frac{\sigma_c \rho \tau_0}{2m_N i} e^{-\frac{2z_3 m_N i}{\tau_0}} = B_2 \alpha_i, \quad (39)$$

где

$$\alpha_i = \frac{3}{4} \frac{\tau_0}{m_N z_3} e^{-\frac{2m_N z_3}{\tau_0}} i. \quad (40)$$

Сумма диаграмм, составляющих сечение $W_A^{(3)}$ обобщенной модели, в качестве примера представлена на рис.3.

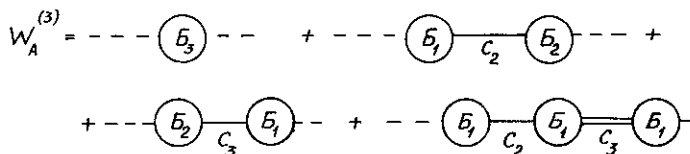


Рис.3. Сумма диаграмм, составляющих сечение $W_A^{(3)}$ обобщенной модели.

С помощью функций C_i , B_i сечения $W_A^{(n)}$ определяются следующими выражениями:

$$W_A^{(2)} = \sigma_{NN}^{in} A \{ B_2 + C_2 \}, \quad (41)$$

$$W_A^{(3)} = \sigma_{NN}^{in} A \{ B_3 + C_2 B_2 + B_2 C_3 + C_2 C_3 \}, \quad (42)$$

$$W_A^{(4)} = \sigma_{NN}^{in} A \{ B_4 + B_3 C_4 + B_2 C_3 C_4 + B_2 C_3 B_2 + C_2 C_3 B_2 + C_2 B_2 C_4 + C_2 B_3 + C_2 C_3 C_4 \}. \quad (43)$$

Воспользовавшись соотношениями.

$$B_3 = \frac{2}{3} B_2^2, \quad B_4 = \frac{1}{3} B_2^3, \quad (44)$$

вытекающими из определения(38), и соотношением (39) между C_{i+1} и B_2 , выражения (41) - (43) можно значительно упростить:

$$W_A^{(2)} = [W_A^{(2)}]_B \left\{ 1 + \alpha_1 \right\}, \quad (45)$$

$$W_A^{(3)} = [W_A^{(3)}]_B \left\{ \frac{3}{2} \prod_{i=1}^2 (1 + \alpha_i) - \frac{1}{2} \right\}, \quad (46)$$

$$W_A^{(6)} = [W_A^{(4)}]_5 \left\{ 3 \prod_{i=1}^3 (1 + \alpha_i) - (\alpha_1 + \alpha_2) - 2 \right\} . \quad (47)$$

Результат расчета сечения кумулятивной реакции $PAc \rightarrow \pi^- + X$, выполненного с помощью формул (45) – (47) обобщенной модели, представлен на рис.2 сплошной кривой. Используемые в расчете значения параметров $z_5 = 0,3$ фм и $\gamma_0 = 1$ ГэВ·фм не противоречат оценкам (30) и (37).

4. Заключение

Итак, кумулятивный эффект является закономерным следствием процесса множественного рождения адронов в реакциях с участием ядер. На основе весьма общих представлений о развитии этого процесса удается понять основные свойства данного эффекта: универсальность наклонов спектров в различных кумулятивных реакциях, необычную зависимость от p_1 и "объемную" зависимость инвариантного сечения от атомного веса мишени.

На этой же основе получены и важные количественные соотношения между инклюзивными сечениями кумулятивных реакций, позволяющие выразить любое из них через сечение образования частиц одного сорта " i " под заданным углом θ , при фиксированной первичной энергии E_{in} , на конкретном ядре A . Соответствие этих соотношений экспериментальным данным, интерпретация которых в моделях "холодной" схемы встречает известные трудности, свидетельствует в пользу "горячей" схемы рождения кумулятивных адронов.

Отсюда можно сделать важный вывод: кумулятивный эффект выделяет (в особенности в случае средних и тяжелых ядер) в наиболее чистом виде один из основных объектов исследования физики множественных процессов – статистическую компаунд – систему. В некумулятивных реакциях его исследование затруднено наличием значительных примесей от различных источников частиц, возникающих в сопутствующих неупругих каналах. Поэтому кумулятивные реакции представляют собой весьма чувствительный "анализатор" характеристик компаунд-системы. К их числу можно отнести температуру, ароматный по кваркам состав, размеры, время жизни, угловой момент и т.д.

Как показано в [3] /см. также п.2.3/, информацию о температуре и ароматном составе системы можно получить, исследуя качественный состав кумулятивных адронов. Предположение о том, что ароматный состав в распадном состоянии КС соответствует составу химически равновесного газа с температурой $T \approx \mu_\pi$, привело к удовлетворительному согласию с данными о величине отношений K^+/π и K^-/π и не противо-

речит верхней экспериментальной оценке выходов \bar{p} под углом $\theta=90^\circ$. Однако, как следует из формул (2.24) - (2.27) работы /3/, чем тяжелей рожденная частица, тем чувствительней сечение её рождения к величине температуры системы. Получение надежных данных об отношении \bar{p}/π позволит уточнить значение T .

Информация о размерах системы содержится в данных о корреляциях двух тождественных кумулятивных частиц с малым относительным импульсом /24,25/. Она не противоречит представлению о распадающейся КС как об объекте с размерами порядка нескольких фм. Однако обработка данных /25/ производилась без учета влияния углового момента КС. Это может привести к заметным искажениям истинной картины и повлиять на вывод о наличии существенной вытянутости КС в продольном направлении.

Дальнейшие исследования поляризационных эффектов в кумулятивных реакциях позволят получить важную информацию о константе спин-орбитального взаимодействия в горячей адронной системе.

Из утверждения о том, что кумулятивный эффект является следствием процесса множественного рождения в ядрах, следует и другой важный вывод: модели, претендующие на описание множественного процесса, должны также описывать и основные закономерности кумулятивного эффекта. Это требование может оказаться критичным для некоторых моделей. Так, например, популярная в настоящее время дуальная партонная модель, в её традиционном виде, вообще не содержит подпроцессов, приводящих к образованию кумулятивных адронов.

Как показано выше и в работе /3/, многие закономерности кумулятивных реакций определяются свойствами распадающейся КС. Однако величина наклона спектра, его нормировка определяются процессом формирования КС в ядре. В разделе 3 мы рассмотрели два качественно различных варианта феноменологии процесса и сформулировали обобщенный вариант. Наиболее важное следствие нашего анализа: в любом из рассмотренных вариантов формирование КС определяется свойствами КСД на больших расстояниях.

В заключение отметим важность экспериментального исследования процесса образования кумулятивных струй. Практически каждая КС, способная породить кумулятивную частицу, образует и кумулятивную струю. При этом относительная вероятность образования частицы подавлена на фактор $F(x) \approx 10^{-2}$ (см. (4), (26)). Струя же с $x = \frac{2}{3}$ (фактор $\frac{2}{3}$ учитывает ненаблюдаемые нейтральные частицы) образуется при распаде КС с вероятностью ~ 1 . Отметим, что информация о $W_A^{(n)}$, извлекаемая из данных о струях, не искажена возможными неточностями, связанными с определением функции $F(x)$.

Авторы благодарны Е.С.Голубятниковой за предоставление результатов численных расчетов.

Л И Т Е Р А Т У Р А

1. Бояринов С.В. и др. - ЯФ, 1987, 46, с.1472; Труды IX Международного семинара по проблемам физики высоких энергий. Д1, 2-88-652, с.219, Дубна, 1988.
2. Голубятникова Е.С., Калинин Б.Н., Шмонин В.Л. - ОИЯИ, P2-86-182, P2-86-183, Дубна, 1986.
3. Голубятникова Е.С., Калинин Б.Н., Шмонин В.Л. - ОИЯИ, P2-89-30, Дубна, 1989; Голубятникова Е.С., Шмонин В.Л. - ИФВЭ АН КазССР, 88-19, Алма-Ата, 1989.
4. Блохинцев Д.И. - ЖЭТФ, 1957, 33, с.1225.
5. S.Sh.Ameev et.al. - Z.für Phys., 1988, A331, p.347.
6. Ландау Е.Л., Лившиц Е.М. - Теоретическая физика, Т.5, Наука, М., 1964.
7. Ландау Е.Л., Лившиц Е.М. - Теоретическая физика, Т.3, Наука, М., 1963.
8. Базь А.И., Зельдович Я.Б., Череломов А.М. - Рассеяние реакции и распада в нерелятивистской квантовой механике. Наука, М., 1971.
9. Baldin A.M. et al. - JINR, E1-82-472, Dubna, 1982.
10. Белянский С.З. и др. - УФН, 1957, 62, с.1.
11. Фейнберг Е.Л. - УФН, 1971, 104, с.539.
12. Kinoshita K. - ИЕК, 1979, 33, p.141.
13. Siegrist J.L. - SLAC Report No.225 (1979).
14. Kalinkin B.N., Shmonin V.L. - Phys.Ser., 1987, 36, p.737.
15. Калинин Б.Н., Шмонин В.Л. - ЯФ, 1975, 21, с.628; Z.für Phys., 1978, A288, p.227; ЗФН, 1980, 36, p.737.
16. Фейнберг Е.Л. - УФН, 1980, 132, с.255.
17. Калинин Б.Н., Шмонин В.Л. - ОИЯИ, P4-6293, P4-6299, Дубна, 1972.
18. Kalinkin B.N., Cherbu A.V., Shmonin V.L. - Acta Phys.Pol., 1978, B9, p.375; ibid, 1979, B10, N.3, p.247.
19. Golubiatnikova E.S. et al. - Acta Phys.Pol., 1984, B15, p.585.
20. Блохинцев Д.И., Токтаров К.А. - ОИЯИ, P4-4018, Дубна, 1968.
21. Kogut J., Susskind P. Phys.Rev., 1974, D10, p.732; Nussinov S. Phys.Rev.Lett., 1975, 34, p.1286.
22. Калинин Б.Н., Шмонин В.Л. - ОИЯИ, P2-85-471, Дубна, 1985.
23. Неудачин В.Г., Обуховский И.Т., Смирнов Ю.Ф. - ЭЧАЯ, 1984, 15, с.1165.
24. Копылов Г.И., Подгорецкий М.И. - ЯФ, 1972, 15, с.392, Ледники Р., Любошиц В.Л. - ЯФ, 1982, 35, с.1316.
25. Бажков Ю.Д. и др. - ИТЭФ №2, М., 1988.

Рукопись поступила в издательский отдел
23 мая 1989 года.